

03:07:08;12

**ЭФФЕКТИВНОСТЬ ФОКУСИРОВКИ
СУБМИКРОСЕКУНДНЫХ
ИМПУЛЬСОВ ДАВЛЕНИЯ В ВОДЕ
В ЗАВИСИМОСТИ ОТ РАДИАЛЬНОГО
РАСПРЕДЕЛЕНИЯ ИХ НАЧАЛЬНОЙ
АМПЛИТУДЫ**

© Ю.В. Судченков, Э.В. Иванов

Согласно линейной теории [1], эффективность концентрации акустической энергии повышается при уменьшении длительности импульса. Методы лазерной оптоакустики позволяют возбуждать импульсы давления длительностью ≤ 0.1 мкс [2], что, как минимум, на порядок короче, чем в традиционных источниках сфокусированных ударных волн [3]. Однако при этом возрастает и роль нелинейных эффектов, совокупное влияние которых на фокусировку не является однозначным [1]. В этой связи исследование нелинейных процессов фокусировки таких импульсов представляет большой интерес.

Обычно как в теории, так и в эксперименте рассматривается лишь колоколообразное распределение начальной амплитуды, другие же профили практически не изучены. Между тем можно предположить, что данный фактор должен оказывать заметное влияние на процесс фокусировки, по крайней мере в условиях нелинейности.

В этой связи нами проведены экспериментальные исследования фокусировки в воде субмикросекундных импульсов для случая (рис. 1) колоколообразного (1) и кольцевого (2) профилей их начальной амплитуды. Предполагалось, что перераспределение акустической энергии из центральной области пучка на его периферию ослабит влияние нелинейных эффектов вследствие уменьшения максимального значения начальной амплитуды и в результате изменения ее поперечного профиля. Кроме того, при этом должен возрасти эффективный угол схождения пучка. Следовательно, переход от колоколообразного распределения к кольцевому должен улучшить условия фокусировки.

В эксперименте использовался лазерный оптико-акустический концентратор, основным элементом которого являлся твердый поглощающий слой толщиной ≈ 0.3 мм, нанесенный на сферически вогнутую поверхность подлож-

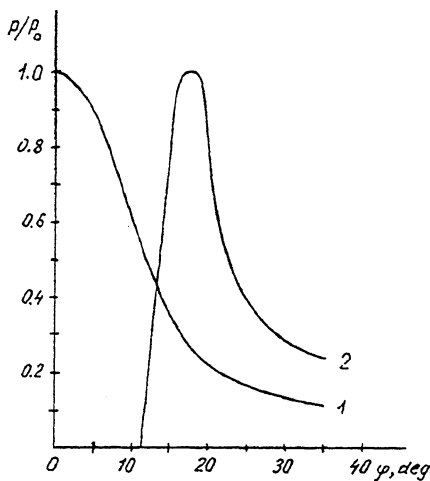


Рис. 1. Колоколообразный (1) и кольцевой (2) профили начальной амплитуды импульса давления ($\varphi = \arcsin(r/R)$) — центральный угол, r — радиальная координата).

ки из оптического стекла (диаметр 110 мм, радиус кривизны $R = 91$ мм). В этом слое происходило термоупругое преобразование лазерного импульса в акустический моноимпульс сжатия с длительностью по полувысоте 0.2 мкс. Материал поглощающего слоя был хорошо согласован по акустическому импедансу с водой, в которой и распространялся в дальнейшем акустический импульс.

В качестве источника оптического излучения использовался лазер модулированной добротности на неодимовом стекле (длина волны 1.06 мкм, длительность импульса по полувысоте 20 нс).

Давление в воде регистрировалось пьезокерамическим датчиком с чувствительной площадкой размером 0.45×0.45 мм, сигнал с которого подавался на вход широкополосного осциллографа С8-14.

Для фазы сжатия импульса давления были получены распределения амплитуды по поверхности оптикоакустического концентратора (рис. 1), вдоль его оси (рис. 2, а) и в фокальной плоскости (рис. 2, б) для двух значений энергии лазерного импульса (E). Параметры нормировки (p_0 и p_f), коэффициент усиления ($G = p_f/p_0$), а также длина и диаметр фокальной области по полувысоте (соответственно Δz и Δr) приведены в таблице.

Экспериментальные результаты показывают, что при переходе от колоколообразного распределения начального

	E , Дж	p_0 , МПа	p_f , МПа	G	Δz , мм	Δr , мм	p'_0 , МПа	p''_0 , МПа
1	0.14	0.17	3.19	18	10	1.6	0.5	1.2
	1.7	1.57	17.6	11	18	2.2		
2	0.14	0.1	2.78	28	5	1.0	0.2	0.5
	1.7	0.68	19.7	29	9	1.3		

давления к кольцевому коэффициент усиления существенно возрастает, а размеры фокальной области уменьшаются.

Кроме того, для случая колоколообразного профиля начальной амплитуды коэффициент усиления значительно снижается при увеличении p , тогда как для случая кольцевого профиля он остается практически неизменным, хотя увеличение размеров фокальной области с ростом p сохраняется.

Было также обнаружено, что коэффициент усиления остается постоянным вплоть до значений начального давления $\sim p'_0$, возрастаая на 10% при его повышении до уровня

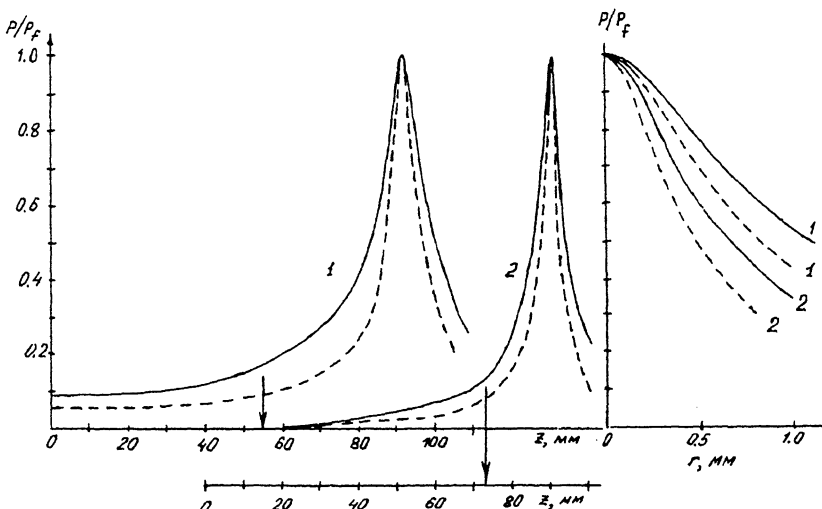


Рис. 2. а — аксиальное распределение давления для случая колоколообразного (1) и кольцевого (2) профилей начальной амплитуды (z — осевая координата): штриховая линия — $E = 0.14$ Дж, сплошная линия — $E = 1.7$ Дж; б — радиальное распределение давления в фокальной плоскости для случая колоколообразного (1) и кольцевого (2) профилей начальной амплитуды: штриховая линия — $E = 0.14$ Дж, сплошная линия — $E = 1.7$ Дж.

$\sim p_0''$ (значения p_0' и p_0'' см. в таблице). Дальнейшее увеличение начального давления приводит к уменьшению коэффициента усиления.

Следует отметить, что диаметр фокальной области оказался сравним с размером чувствительной площадки датчика, что, естественно, завышало размеры фокальной перетяжки, одновременно занижая значение давления в фокусе (не менее чем в 1.5–2 раза для случая кольцевого начального распределения).

Полученные результаты позволяют сделать ряд выводов. Во-первых, отрицательное влияние, которое нелинейные эффекты оказывают на фокусировку субмикросекундных импульсов при высоких начальных давлениях, может быть существенно снижено за счет выбора радиального профиля начальной амплитуды акустических импульсов. Во-вторых, подтверждается, что в области небольших начальных давлений нелинейные эффекты могут увеличивать степень концентрации акустической энергии [4,5].

Таким образом, проведенные исследования определили пути повышения эффективности фокусировки субмикросекундных импульсов и впервые продемонстрировали возможность получения высоких давлений (> 20 МПа) в малой пространственной области ($\sim 1 \times 10$ мм) при использовании лазерного оптико-акустического концентратора. Это позволяет говорить о перспективности применения концентраторов на основе оптико-акустического эффекта в ряде прикладных задач и, в частности, для целей экстракорпоральной литотрипсии [3].

Список литературы

- [1] Сапожников О.А. // Акуст. журн. 1991. Т. 37. В. 4. С. 760–769.
- [2] Гусев В.Э., Карабутов А.А. Лазерная оптоакустика. М.: Наука, 1991. 304 с.
- [3] Reichenberger H. // Proc. IEEE. 1988. V. 76. N 9. P. 1236–1246.
- [4] Божков А.И., Бункин Ф.В. и др. // Изв. АН СССР. Сер. физ. 1982. Т. 46. № 8. С. 1624–1631.
- [5] Makarov S.N. Finite amplitude near-field modelling of ultrasonic fields using a transfer matrix formulation. Braunschweig, PTB-Bericht MA-42, 1995. 57 s.

Поступило в Редакцию
2 сентября 1996 г.